

Annex A - Relacions lineals no determinants entre la presència d'oligoelements i la productivitat de polímer PGA

En aquest Annex es mostren els ajustos lineals entre la quantitat present de determinats oligoelements en el substrat fermentatiu i la productivitat de biopolímer PGA. S'ha considerat que els següents ajustos lineals no es poden interpretar com a la existència de cap relació lineal entre les dues característiques.

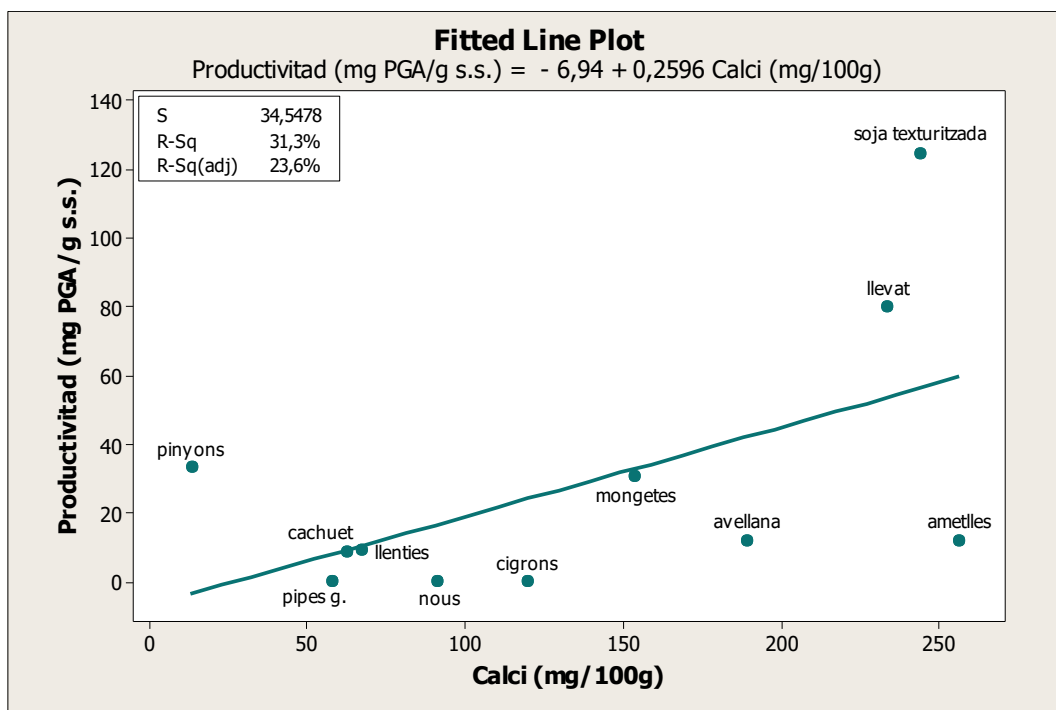


Figura A.1: Relació entre la quantitat de calci en el substrat fermentatiu i la productivitat de PGA

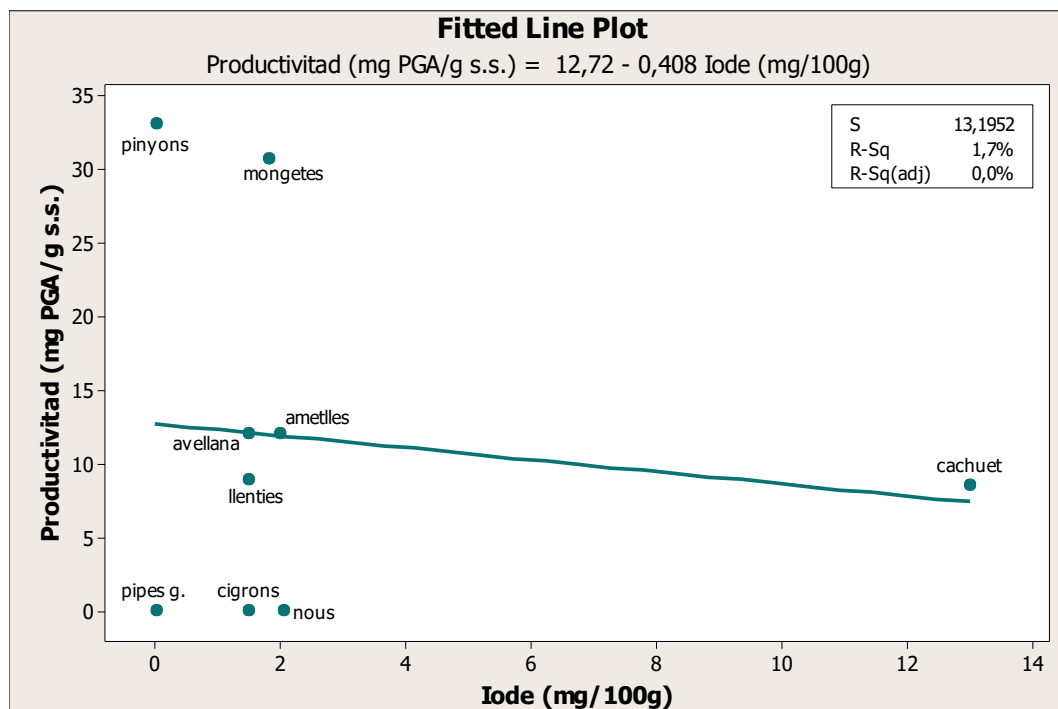


Figura A.2: Relació lineal entre la quantitat de iodine en el substrat fermentatiu i la productivitat de PGA

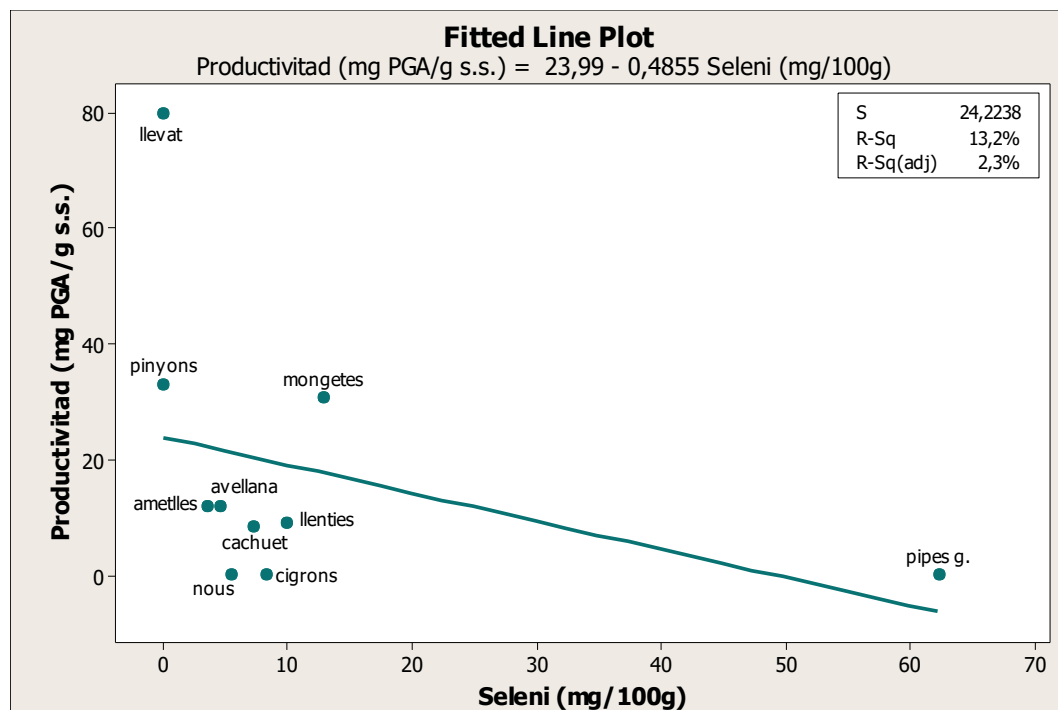


Figura A.3: Relació lineal entre la quantitat de seleni en el substrat fermentatiu i la productivitat de PGA

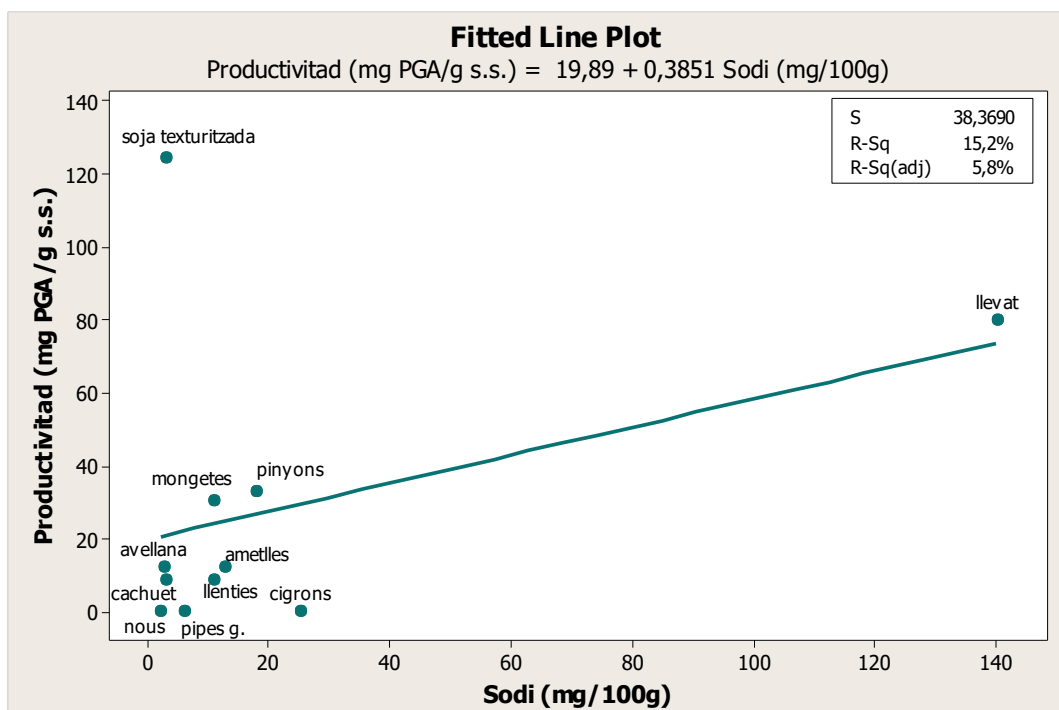


Figura A.4: Relació lineal entre la quantitat de sodi en el substrat fermentatiu i la productivitat de PGA

Annex B - Espectres obtinguts per Espectroscòpia d'IR

En aquest Annex es mostren els espectres obtinguts per Espectroscòpia d'IR relativs als polímers obtinguts mitjançant la utilització de diferents substrats sòlids fermentatius.

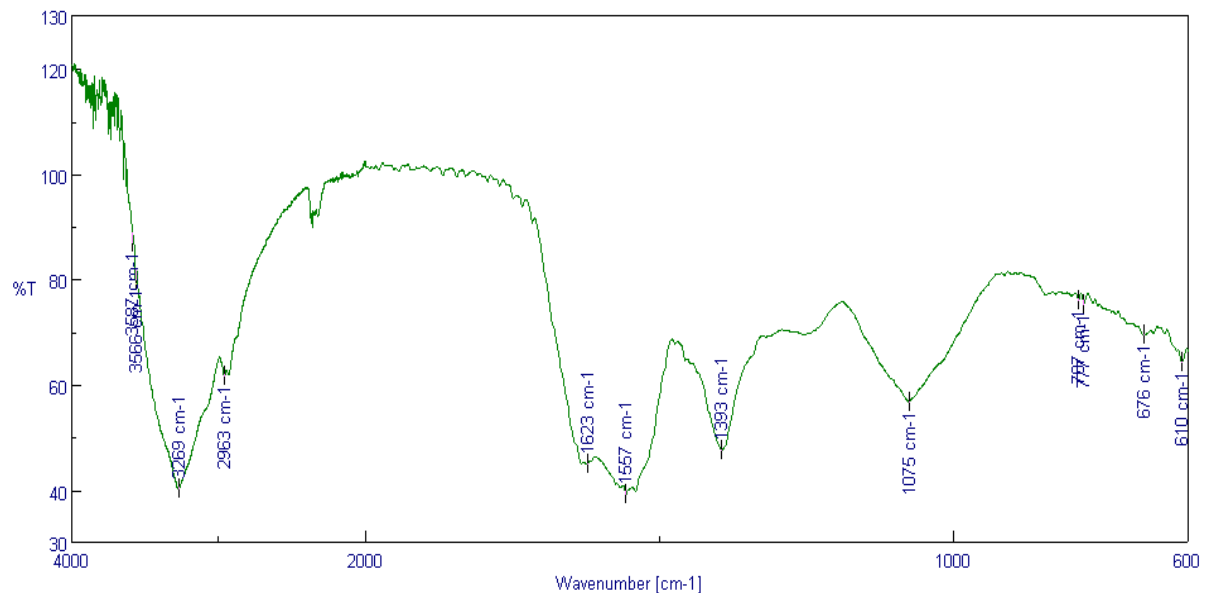


Figura B.1: Espectres IR obtinguts per a les monges

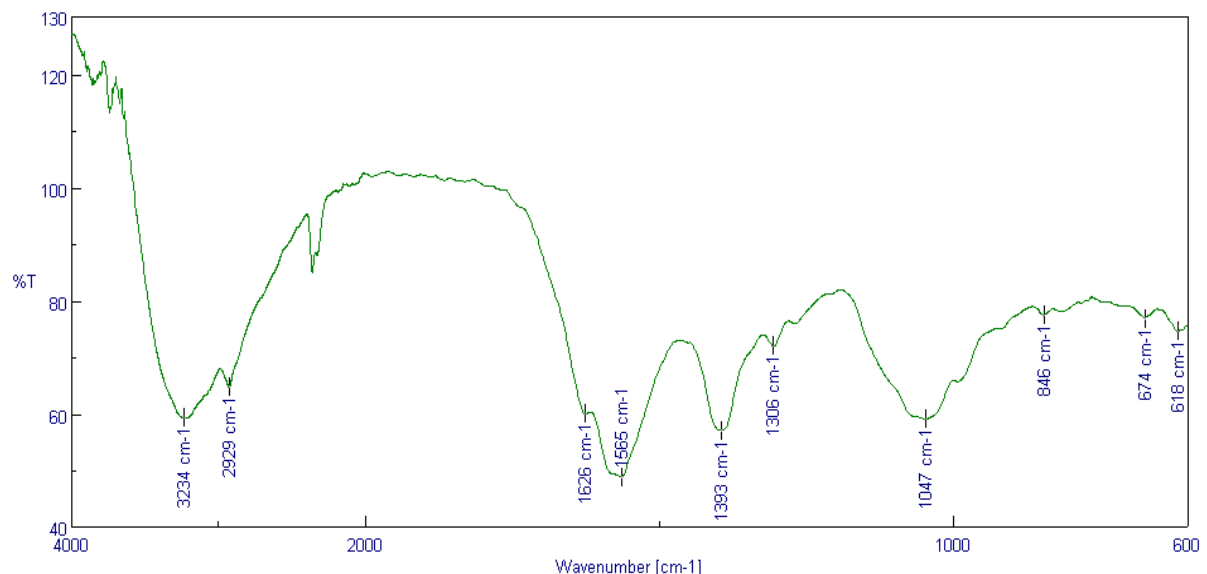


Figura B.2: Espectres IR obtinguts per al llevat desamargat

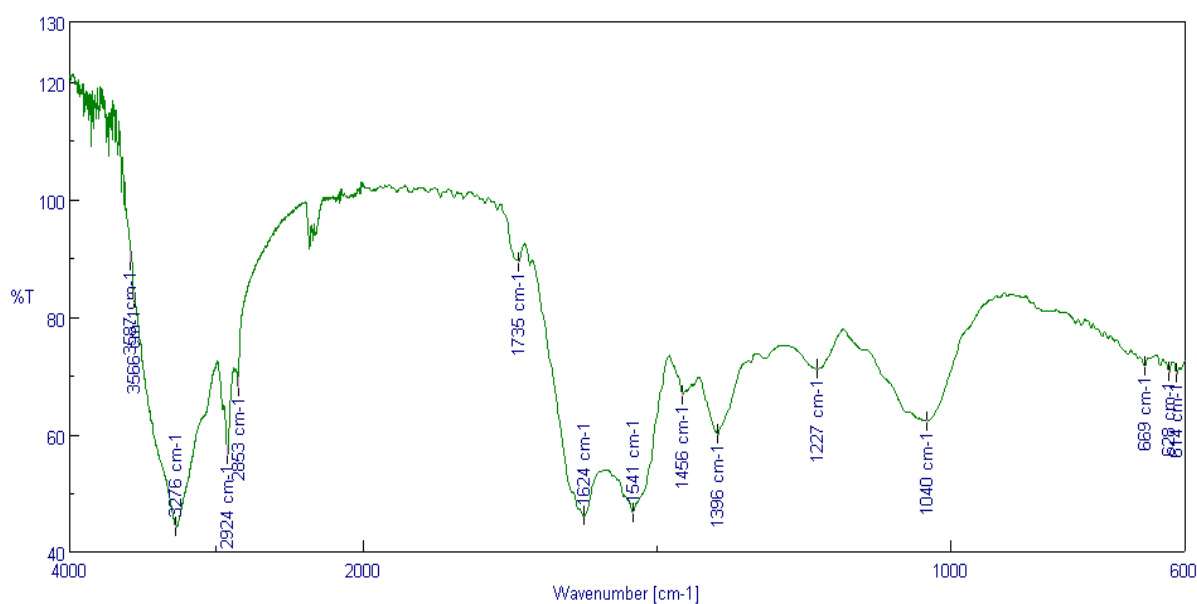


Figura B.3: Espectres IR obtinguts per a les avellanes

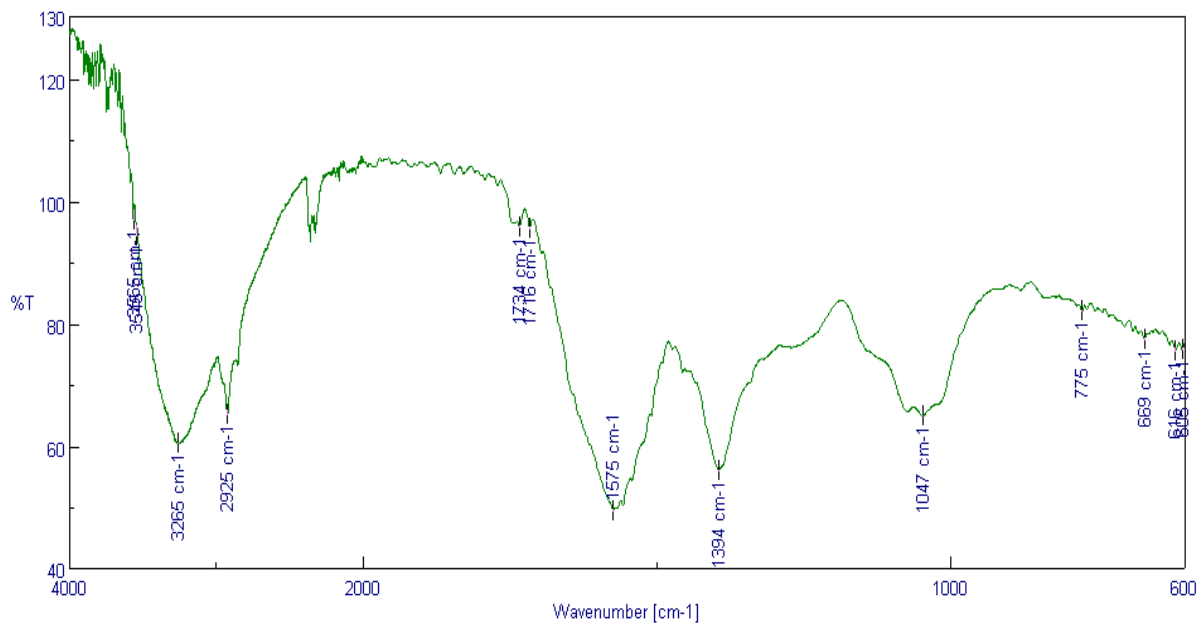


Figura B.4: Espectres IR obtinguts per a la Soja texturitzada + àcid 2-oxoglutàric

Annex C - Espectres obtinguts per Cromatografia HPLC

En aquest Annex es mostren els espectres obtinguts per Cromatografia HPLC i relatius als polímers obtinguts mitjançant la utilització de diferents substrats sòlids fermentatius.

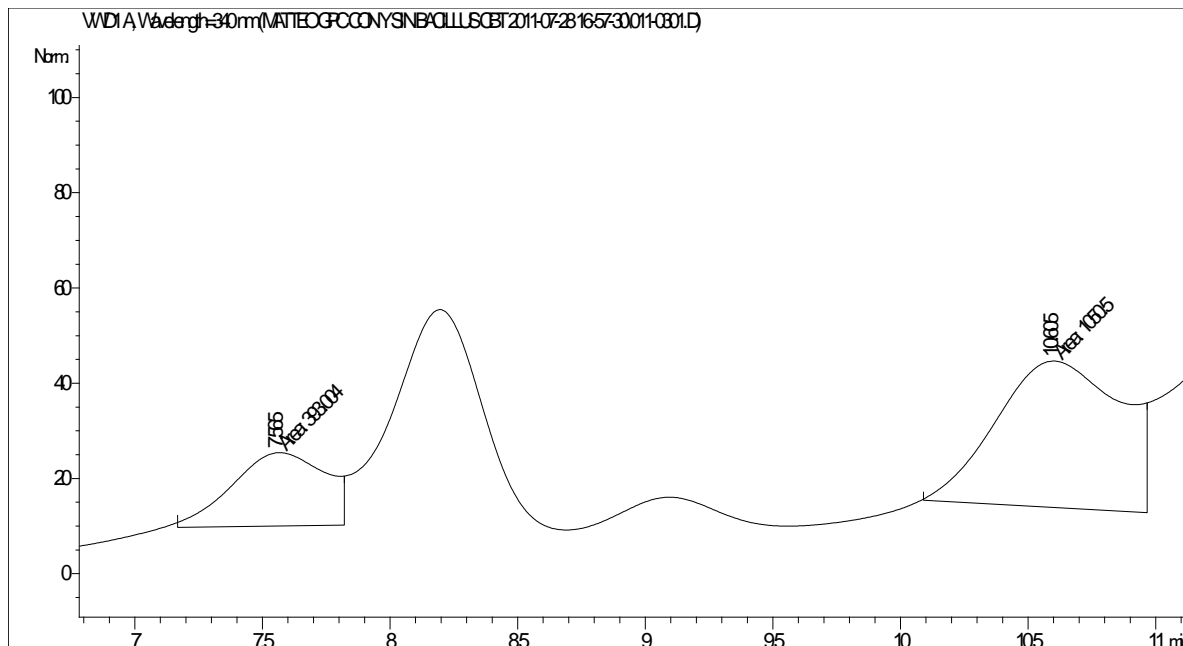


Figura C.1: Espectres HPLC obtinguts per a la soja texturitzada + glutamina

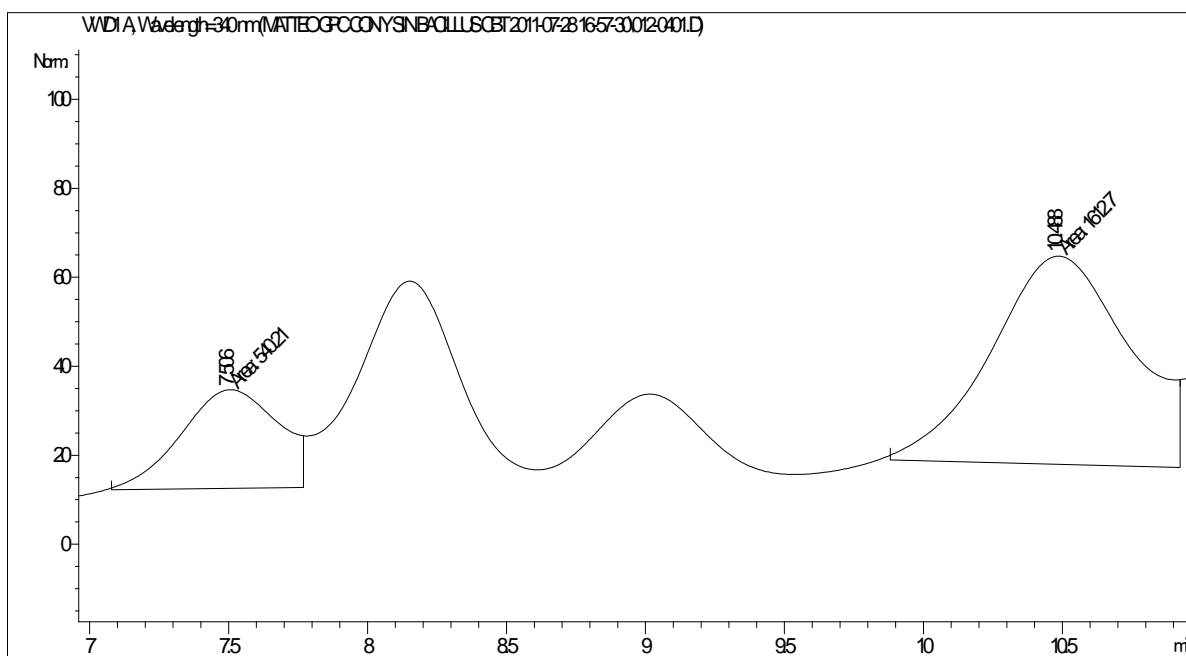


Figura C.2: Espectres HPLC obtinguts per als pinyons

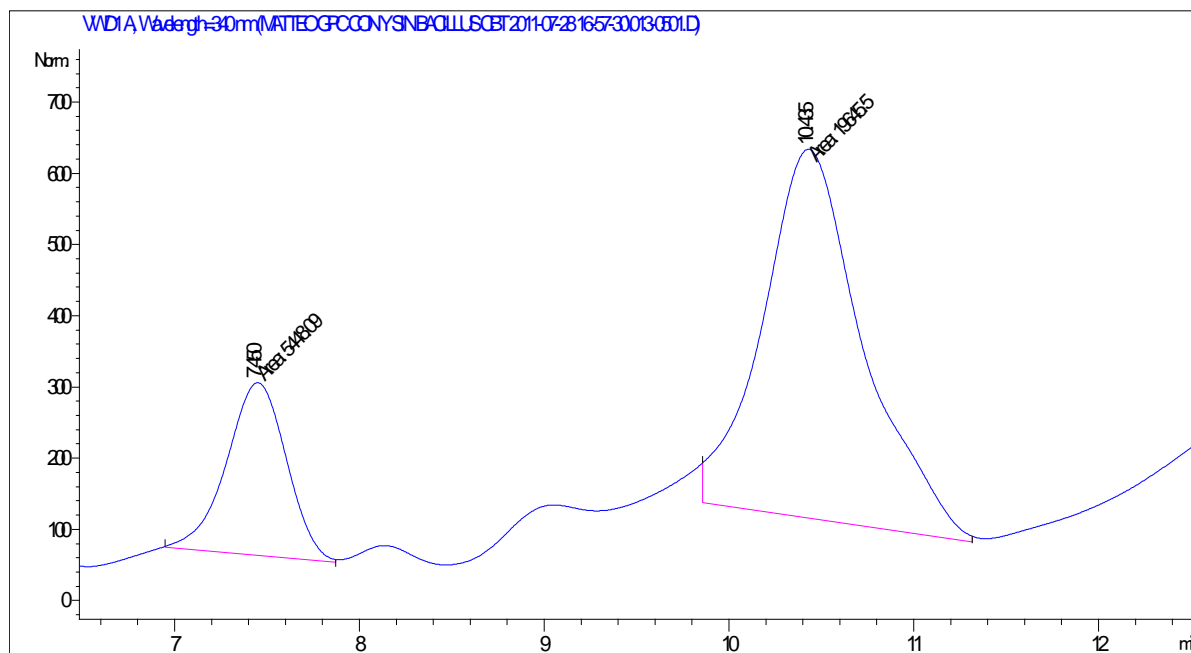


Figura C.3: Espectres HPLC obtinguts per a les avellanes

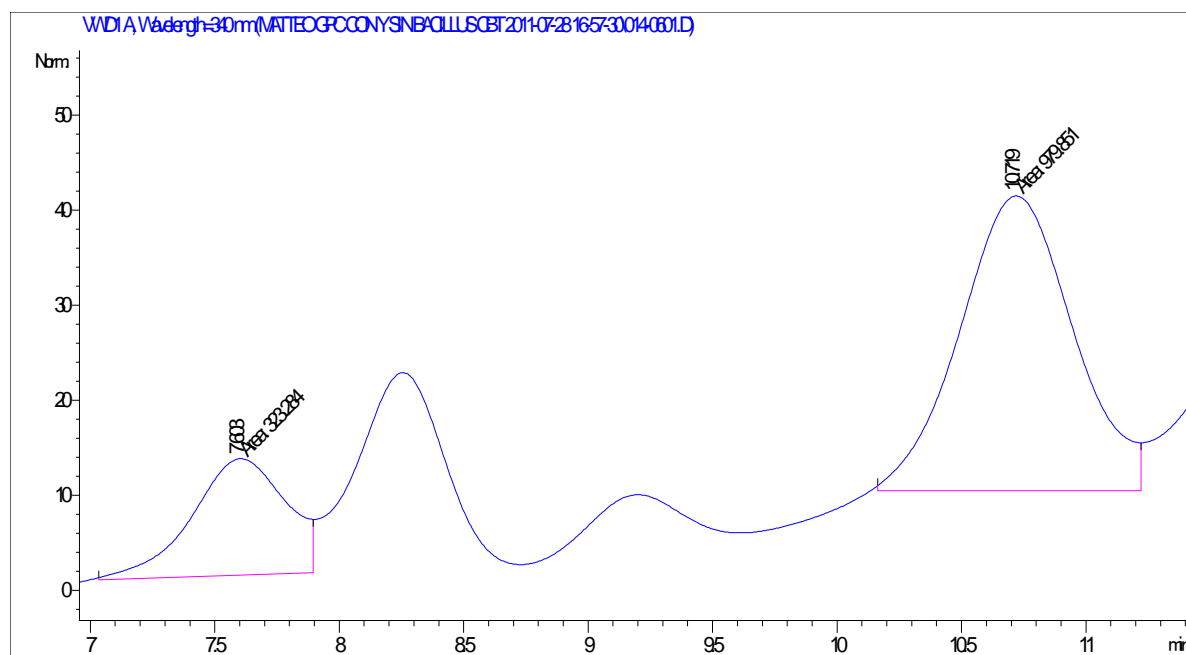


Figura C.4: Espectres HPLC obtinguts per al llevat desamargat

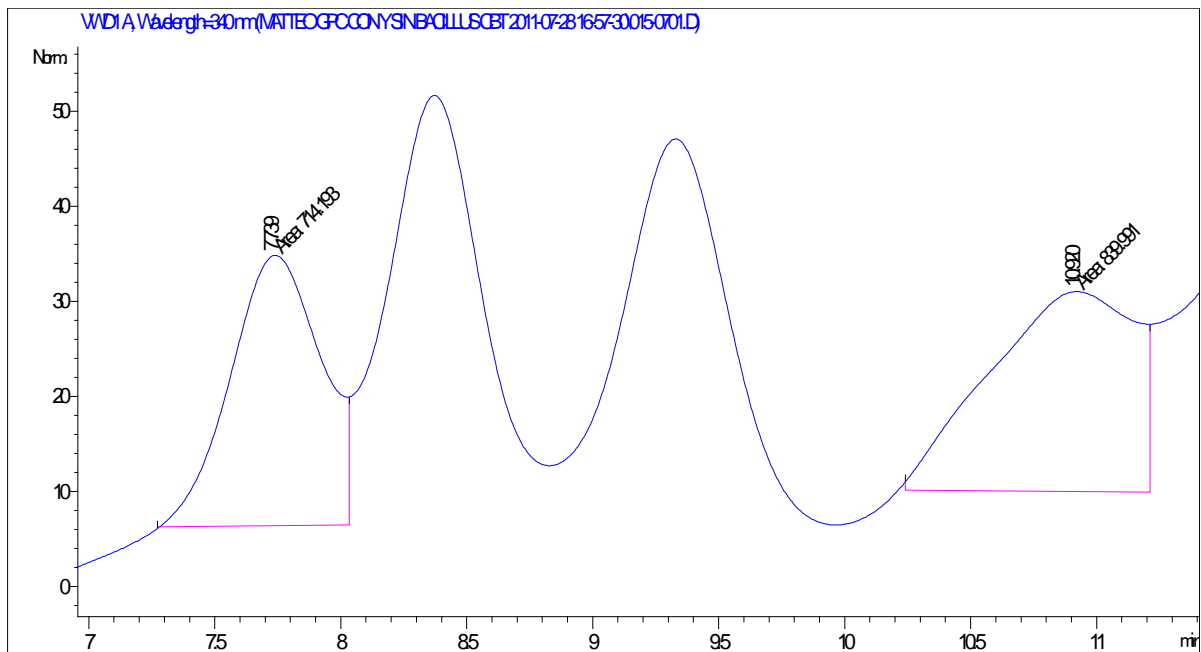


Figura C.5: Espectres HPLC obtinguts per a les monges

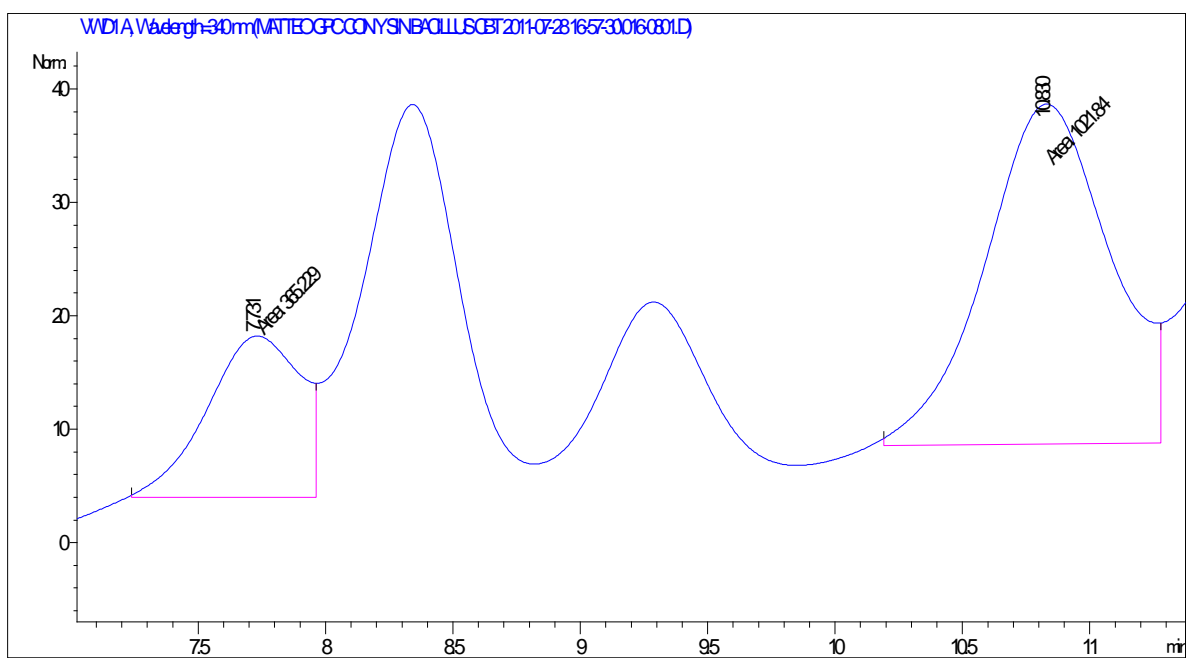


Figura C.6: Espectres HPLC obtinguts per a les ametxes

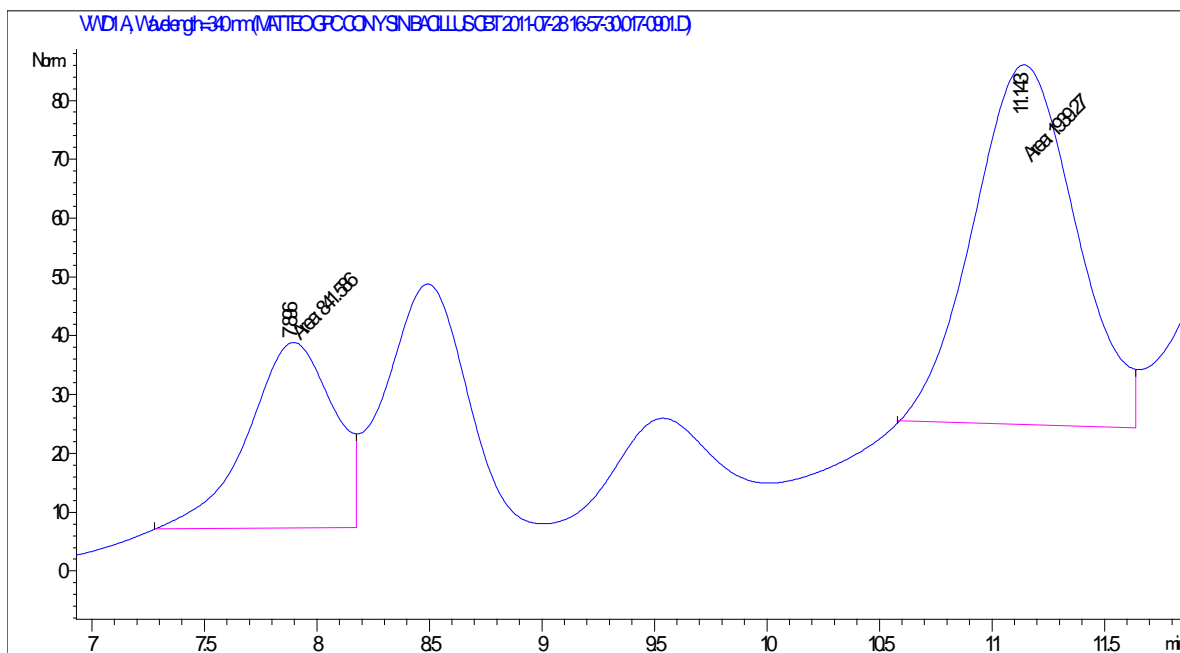


Figura C.7: Espectres HPLC obtinguts per a la soja texturitzada

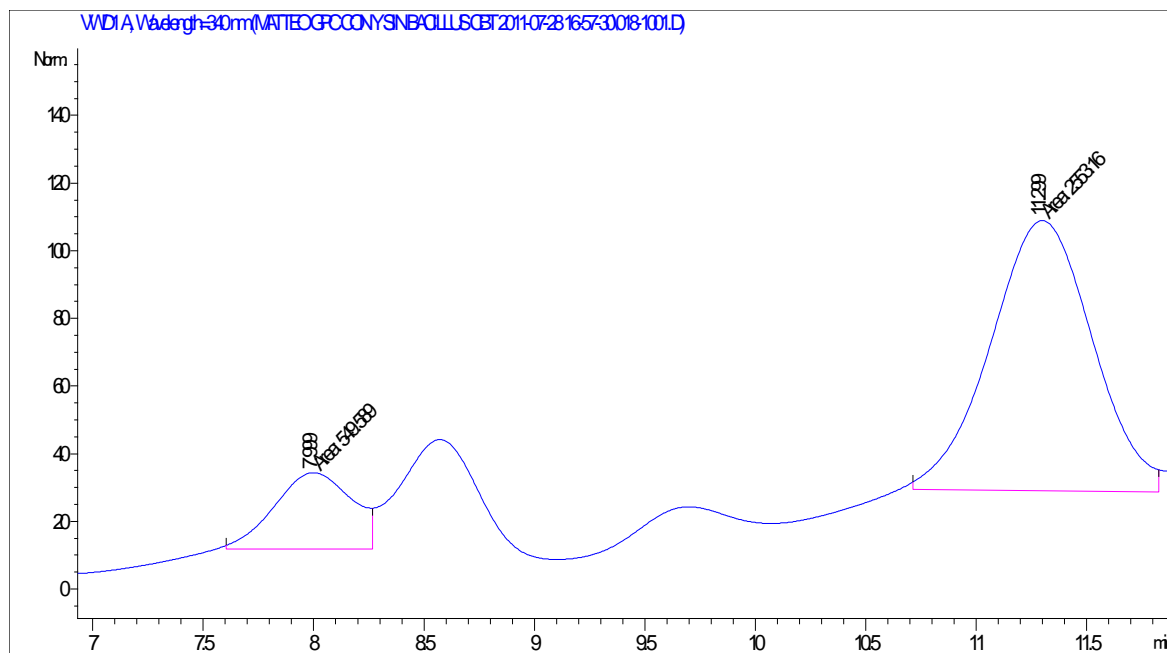


Figura C.8: Espectres HPLC obtinguts per a la soja texturitzada + àcid 2-oxoglutàric